

MA2 - písemná přednáška 18.3. 2020 (část první)

"

V další kapitole "Matematiky A2 se vrátíme ke studiu (a upřesnění) funkcí "obecnějších" než těch, které jsme "prohlašovali" v MA1, tj. fci reálných reálné proměnné, tj.  $f: M \subset \mathbb{R} \rightarrow \mathbb{R}$  ( $\mathbb{R}$ -množina reálných čísel)

Obecně to budou funkce  $f: M \subset \mathbb{R}^m \rightarrow \mathbb{R}^n$ ,  $m, n \in \mathbb{N}$  ( $\mathbb{R}^m, \mathbb{R}^n$  - máme známé lineární prostory a lineární algebry)

a srozumíme se nyní se základy diferenciálního a integračního počtu těchto funkcí a také diferenciálního i integračního počtu.

Základem diferenciálního (i integračního) počtu funkcí jedné proměnné byl pojem limity funkce - a k tomu jsme používali vzdálenost bodů v  $\mathbb{R}$  (zde  $d(a,b) = |b-a| = |a-b|$ ,  $a, b \in \mathbb{R}$ ). Chceme-li tedy "budovat" analogii diferenciálního počtu fci jedné proměnné i pro fci obecnější, je třeba ještě lineární prostor  $\mathbb{R}^n$  "opatřit" vzdáleností a pak, ani "budeme už" není úvahovat o limesech, derivacích a zřejmá také, a i definovat (pomenit limes) příslušné funkce v obecně proměnných a dáváme také vhodné pojmy.

Dříve, než rozšíříme náš pohled na prostory  $\mathbb{R}^n$ , ukážeme si příklady funkcí  $f: M \subset \mathbb{R}^n \rightarrow \mathbb{R}^m$

(a kada pro některé odvozkové členy - představujte si i v obecných tvarech (dále) třeba  $n=2, n=3$ ; pak je lépe "vidět", co se říká)

Průklady funkce'  $f: M \subset \mathbb{R}^n \rightarrow \mathbb{R}^m$ :

(jednoduché průklady; pro  $n=1,2,3$  a  $m=1,2,3$ )

1)  $f: M \subset \mathbb{R} \rightarrow \mathbb{R}^n$

(často se tyto funkce označují  $\vec{f}(x)$  a nazývají  
vektorové funkce jedné proměnné)

je-li  $x \in M \subset \mathbb{R}$ , pak  $y = \vec{f}(x) \in \mathbb{R}^n$ , tedy

$y = (y_1, y_2, \dots, y_n)$ , a každá složka  $y_i$  je určena reálnou  
funkcí proměnné  $x$ , a budeme psát  $y_i = f_i(x)$ , tedy

$$\vec{f}(x) = (f_1(x), f_2(x), \dots, f_n(x)), \quad x \in M$$

( $f_i: M \subset \mathbb{R} \rightarrow \mathbb{R}$ ,  $i=1,2,\dots,n$ )

( $f_i(x)$  se nazývají složkami  $\vec{f}$ , nebo také  
souřadnicové funkce  $\vec{f}$ )

Průklady (znáte asi z analytické geometrie v rovině nebo prostoru)

1) Jedná se bod  $A [a_1, a_2, a_3]$ , vektor  $\vec{u} = (u_1, u_2, u_3)$ , pak

$$(*) \quad \vec{r}_1(t) = (a_1 + tu_1, a_2 + tu_2, a_3 + tu_3), \quad t \in \mathbb{R}$$

je parametrické vyjádření přímky  $p$ ,  $A \in p$  a  $\vec{u}$  je  
směrový vektor přímky  $p$ ;

je-li  $t \geq 0$ , pak je vyjádřena část polopřímky  
s počátečním bodem  $A$ , a směrovým vektorem  $\vec{u}$ ;

je-li  $t \in \langle 0, t_0 \rangle$ , pak uveřejníme funkci (\*)  
je vyjádřena úsečka s počátečním bodem  $A [a_1, a_2, a_3]$   
a koncovým bodem  $[a_1 + t_0 u_1, a_2 + t_0 u_2, a_3 + t_0 u_3]$ .

2)  $\vec{f}_2(t) = (R \cos t, R \sin t), t \in \langle 0, 4\pi \rangle, R > 0$

$\vec{f}_2(t)$  je 1. z.v. parametrizace "mjádrové" kružnice o středu v  $\{0,0\}$  a poloměru  $R$ , 2x "oběhne" (neboli  $R^2 \cos^2 t + R^2 \sin^2 t = R^2$ );

3)  $\vec{f}_3(t) = (a \cos t, b \sin t), t \in \langle 0, 2\pi \rangle, a > 0, b > 0$

parametrizace elipsy o středu v  $\{0,0\}$  a poloosách  $a, b$ ; (je-li  $x = a \cos t, y = b \sin t$ , pak  $\frac{x^2}{a^2} + \frac{y^2}{b^2} = 1$ )

4)  $\vec{f}_4(t) = (R \cos t, R \sin t, at), t \in \langle 0, 6\pi \rangle, R > 0, a > 0$

je parametrizace "šroubovice" - půlkrát do roviny  $z=0$  je kružnice v příkladu 2), a souřadnice  $z=at$  bodu šroubovice "které" vykláší  $a$  ( $> 0$ )

5) "fyzikální pohled" na vektorovou funkci jedné proměnné - popis "trajektorie" při pohybu bodu

$\vec{r}(t) = (x(t), y(t), z(t)), t \in \langle t_1, t_2 \rangle$   
 ( $t$  - "čas")

II:  $f: M \subset \mathbb{R}^n \rightarrow \mathbb{R}$  (reálné funkce  $n$  proměnných (zde), často - reálné funkce více proměnných)

(zde platí rada - uvedeme příklad funkce dvou a tři proměnných "ne začít")

notace:  $X = (x_1, \dots, x_n), y = f(x_1, \dots, x_n)$  (také  $y = f(X)$ )

Příklady

1)  $f(x,y) = x^2 + y^2$  ;  $D_f = \mathbb{R}^2$  ( $D_f$  - definiční obor  $f$ )

(pro  $n=2$  se píše apocrida místo  $(x_1, x_2) \rightarrow (x, y)$   
pro  $n=3$  místo  $(x_1, x_2, x_3)$  většinou "píšeme"  $(x, y, z)$ )

A co bude "graf"  $f$  ? - označme  $G(f)$  :

zde:  $G(f) = \{ [x, y, z] ; (x, y) \in \mathbb{R}^2, z = x^2 + y^2 \}$

(obecně pro funkci  $f: M \subset \mathbb{R}^n \rightarrow \mathbb{R}$  grafem se nazývá množina  $G(f) = \{ [x_1, \dots, x_n, y] ; (x_1, \dots, x_n) \in M, y = f(x_1, \dots, x_n) \}$ ,  
 $G(f) \subset \mathbb{R}^{n+1}$ )

Grafem funkce v našem příkladě je plocha (ani si  
dovedeme plochu představit, i když ji nemáme "přesně  
definovanou") - a akurce to podobně, jak si  
"hopec" dokážeme představit proci' ustlevení na mapě.

Uvažujme množiny bodů v  $D_f$ , kde  $z = \text{konstanta}$  ;

ty:  $x^2 + y^2 = k$  - určuje pro  $k \geq 0$  (na "mapě" -  
- ty: v příkře  $z=0$ )  
 $k=0 \rightarrow [x, y] = [0, 0]$  ;

$k > 0$  - dostaneme  $\{ [x, y] ; x^2 + y^2 = k \}$  - což je kružnice

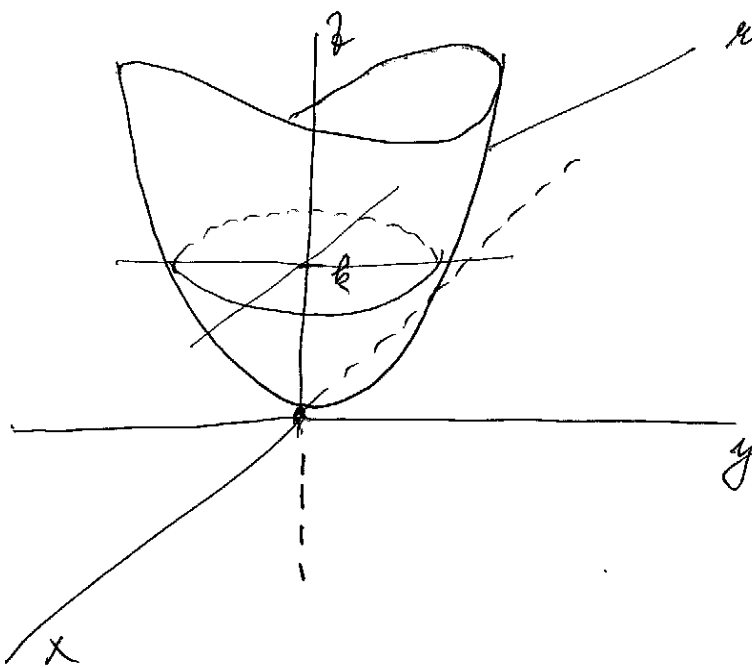
o středu v počátku a poloměru  $\sqrt{k}$  - toto je ta  
"ustlevení" se výšce  $k$  ; tedy "rež" naší plochy  
kružnic  $z=k$  je kružnice o středu ve ose  $z$   $[0, 0, k]$   
a poloměru  $\sqrt{k}$  - taková plocha vzniká kotacením "nežalce"  
kružnic kolem osy  $z$  (- žalce? ) a nazývá se  
kótací plocha

Ploume najit "kebyku", ktera' kolezi v nasim p'edclodeu (kolem osy z) - udelejme "k'ez" rovnu  $x=0$ , pak

dostaneme :  $z = y^2$  - co' je' znaku' kebyka (parabola)

A ploue, ktera' vznikla' rotaci' paraboly (zde)  $z = y^2$  se nazyva' "rotacim' paraboloid" -

a (neum'ely') uat'etele grafu fce  $f(x,y) = x^2 + y^2$



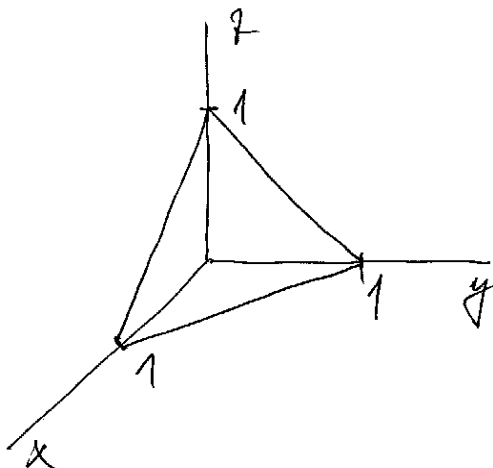
rovnic' k'elo plouky:  
 $z = x^2 + y^2, (x,y) \in \mathbb{R}^2$

A d'at' (jednoduch'e') p'iklady

2.)  $f(x,y) = 1 - x - y$  ,  $(x,y) \in \mathbb{R}^2$  opit, a graf -

- m'uv'na rovna'

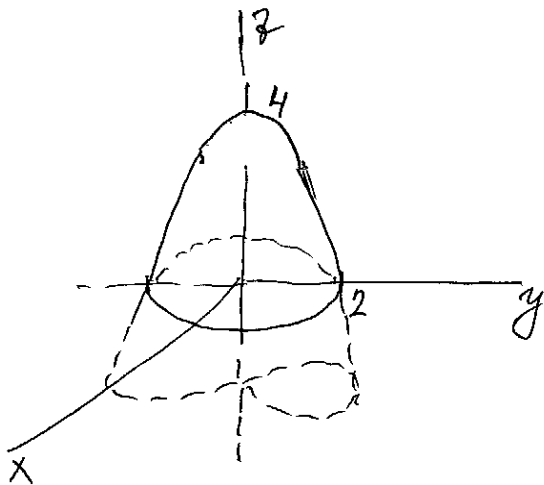
$[x,y,z]$ , kde  $z = 1 - x - y$  - rovina



← co' je' z grafu "vid'et" p'it pohledu ze' sv'ize' hl'adne' poloosy x

(omlouv'amu se, tento p'iklad m'el byt p'ikladem prv'uku)

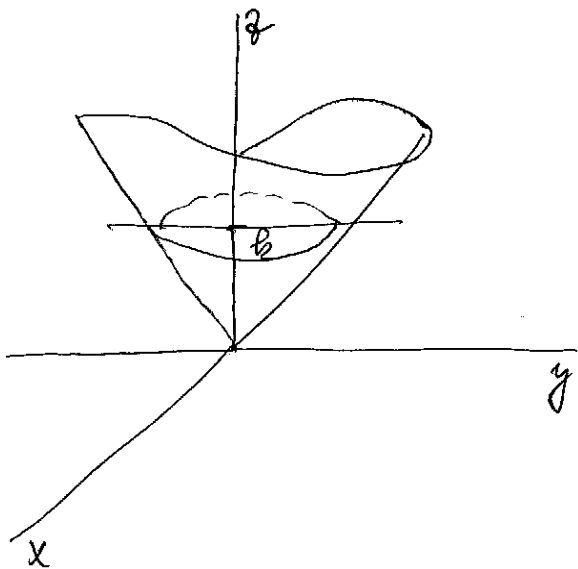
3.)  $f(x,y) = 4 - (x^2 + y^2)$  :



$Df = \mathbb{R}^2$ , a graf -  
 - asi "obločiny (doleč) rotáčnej"  
 "paraboloid s vrcholom  
 v bode  $\{0,0,4\}$

(vrstevnice v rovine  $z=0$   
 $x^2 + y^2 = 4$ )

4.)  $f(x,y) = \sqrt{x^2 + y^2}$  :



$Df = \mathbb{R}^2$ , a graf ? (pálec)

vrstevnice " (ekvivalencie)  
 "kružky dle matematiky"  
 jsou opět kružnice v rovine

pro  $z=k$  :  $\sqrt{x^2 + y^2} = k$ ,  
 tj:  $x^2 + y^2 = k^2$

a řeš "rovnicu  $x=0$  :

"  $z = \sqrt{y^2}$ , tj:  $z = |y|$  -

- tj: tento "graf" rotuje kolem  
 osy z - vytrhí k. ar.  
 kružnicovou plochu

A skuste "samci" si představit i graf ke

$f(x,y) = \sqrt{4 - (x^2 + y^2)}$  ; zde  $Df = \{ [x,y] ; 4 - (x^2 + y^2) \geq 0 \}$

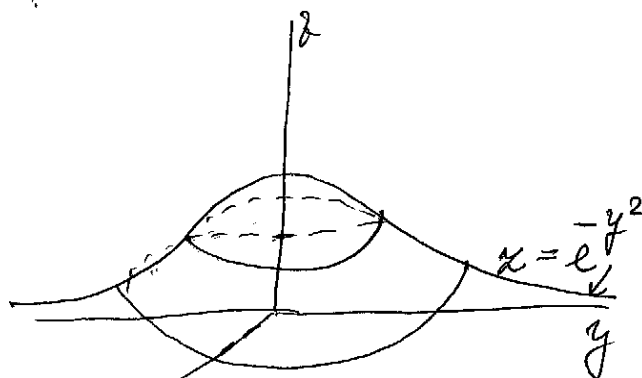
$= \{ [x,y] ; x^2 + y^2 \leq 4 \}$  -

- tj: def. obor je kruh o středu v  $\{0,0\}$  a poloměrem  $r=2$

5) a příklady dalších „leských“ funkcí dvou proměnných, jejichž graf je rotační plocha:

a)  $f(x,y) = e^{-(x^2+y^2)}$  :

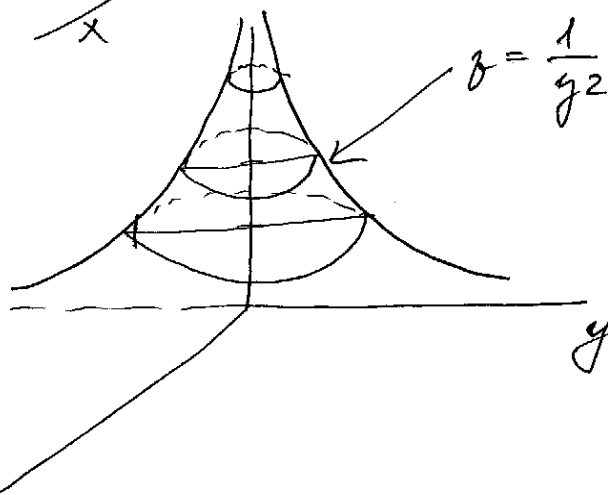
$Df = \mathbb{R}^2$ , a graf vznikne rotací analogie „přirodního deště“ křivky - grafu  $f(x) = e^{-x^2}$



b)  $f(x,y) = \frac{1}{x^2+y^2}$  :

$Df = \{ (x,y) ; x^2+y^2 \neq 0 \}$   
 $= \mathbb{R}^2 \setminus \{ (0,0) \}$

a graf vznikne rotací křivky - grafu  $f(x) = \frac{1}{x^2}$  (naše známá funkce)

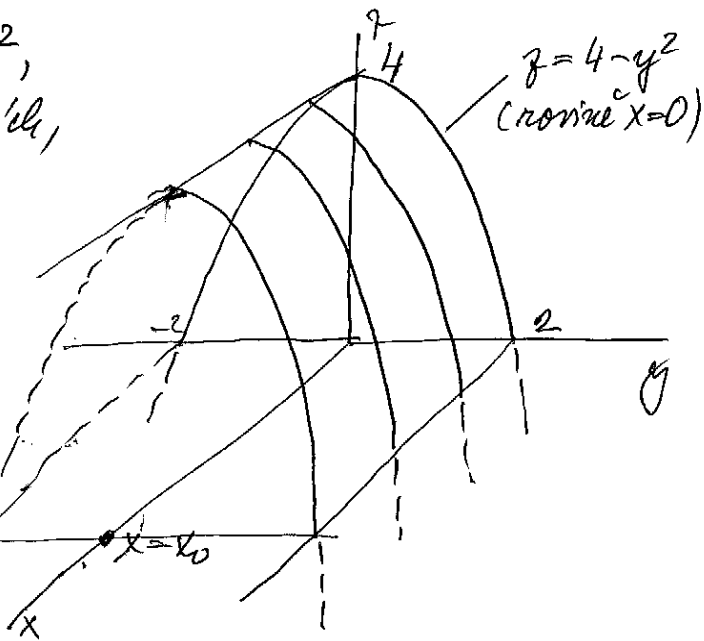


6)  $f(x,y) = 4-y^2$  :  $Df = \mathbb{R}^2$ ,

i toto je funkce dvou proměnných, je konstantní vzhledem k proměnné  $x$  - tj. „řády“ rovinnými  $x = x_0$  jsou stále stejné - a jsou rovnicí

$z = 4 - y^2$  - neboli paraboly - takže plochy se nazývají „válné“ plochy

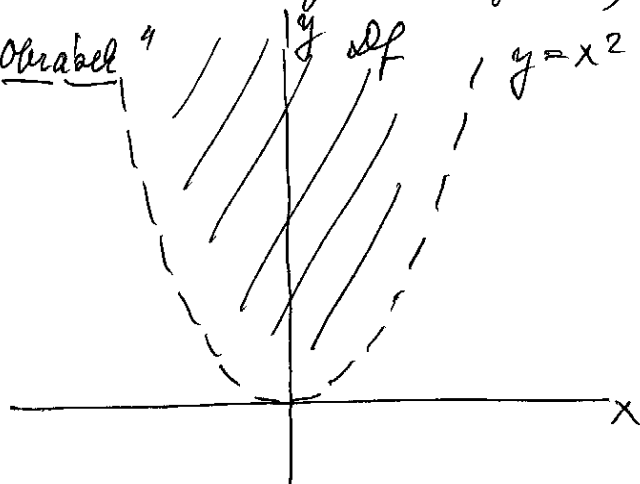
(podobně za „kružnicí“ náčrtly jen křivkou)



A jiné nevolik příklady funkcí více proměnných (bez grafů)

7)  $f(x,y) = \ln(y - x^2)$  :  
 $Df = \{ [x,y]; y - x^2 > 0 \} =$   
 $= \{ [x,y]; y > x^2 \}$

(„vnitřek“ paraboly -  
 „les“ hranice  $y = x^2$ )



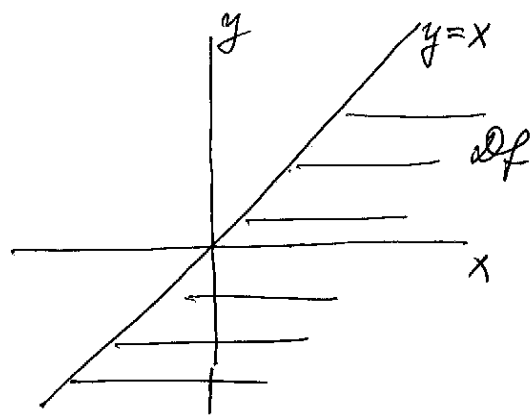
A dále třeba  $f_1(x,y) = y^2 - x^2$ ,  $f_2(x,y) = \frac{x}{y}$ ,  $f_3(x,y) = \frac{\sin(x^2 + y^2)}{x^2 + y^2}$

nebo  $f_4(x,y,z) = \frac{xyz}{x^2 + y^2 + z^2}$ ,  $f_5(x,y) = \sqrt{x - y}$  :

zde :  $Df_1 = \mathbb{R}^2$ ;  $Df_2 = \{ [x,y] \in \mathbb{R}^2; y \neq 0 \}$ ;  $Df_3 = \mathbb{R}^2 \setminus \{ [0,0] \}$ ;  
 $Df_4 = \mathbb{R}^3 \setminus \{ [0,0,0] \}$ ;

$Df_5 = \{ [x,y] \in \mathbb{R}^2; x - y \geq 0 \}$   
 $= \{ [x,y] \in \mathbb{R}^2; x \geq y \}$

(polovina (na obrábku) včetně  
 přímky  $y = x$ )



A příklady užití funkcí více proměnných ve fyzice (i v chemii)

a) je-li množina  $\Omega \subset \mathbb{R}^3$  chápána jako „těleso“,

pak hustota  $\rho = \rho(x,y,z)$  je funkcí bodu  $(x,y,z) \in \Omega$

b) další funkce :  $c = c(t, x, y, z)$  - koncentrace látky v čase  $t$   
 a v bodě  $(x,y,z) \in \Omega \subset \mathbb{R}^3$



$\rho = \rho(t, x, y, z)$  - hustota kapaliny v bode  $(x, y, z) \in \Omega$ , v čase  $t$   
(př proudění kapaliny)

$T = T(t, x, y, z)$  - teplota v bode  $(x, y, z) \in \Omega \subset \mathbb{R}^3$   
v čase  $t$

$F(p, V, T) = 0$  stavová rovnice v termodynamice,  
zde  $p = p(V, T)$ ,  $V = V(p, T)$ ,  $T = T(p, V)$   
( $V$  - objem,  $p$  - tlak,  $T$  - absolutní teplota)

spec.:  $(p + \frac{a}{V^2})(V - b) - RT = 0$ ,  $a, b, R$  - konstanty  
(hladně!)  
(Van der Waalova stavová rovnice)

III.  $\vec{f} : M \subset \mathbb{R}^n \rightarrow \mathbb{R}^m$  - vektorové funkce více proměnných  
speciálně pro  $m = n$ : a  $n = 2, 3$  - vektorová pole

Příklady:

1) proudění kapaliny je popisováno polem rychlosti  
proudění kapaliny:  $\vec{v} = \vec{v}(t, x, y, z)$ ,  $(x, y, z) \in \Omega$   
(Eulerův popis "proudění")

2) silové pole - obecně  $\vec{F} = \vec{F}(t, x, y, z)$   
(ať  $\vec{F}$  můžeme chápat na pole i čase)

např: Newtonův gravitační zákon:

$A [a_1, a_2, a_3]$ ;  $X = [x_1, x_2, x_3]$ ,  $m_A$ , resp.  $m_X$  - hmotnost A, resp. X  
( $A \neq X$ )

pak 
$$\vec{F}(x_1, x_2, x_3) = -\gamma \frac{m_X \cdot m_A}{\left(\sqrt{\sum_{i=1}^3 (x_i - a_i)^2}\right)^3} (x_1 - a_1, x_2 - a_2, x_3 - a_3)$$

( síla, kterou „přesobí“ hmotný bod A na hmotný bod X );

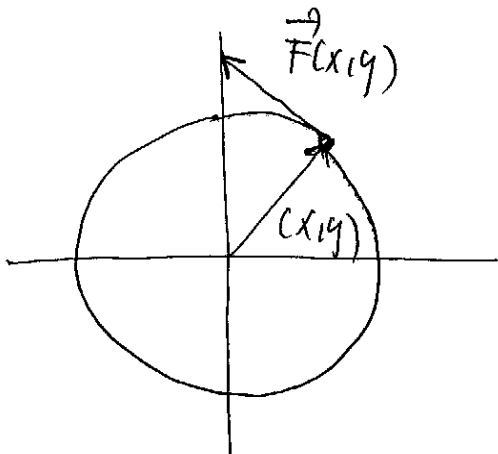
nebo - intenzita elektrostatischeho pole bodoveho naboji  $Q(+)$  umísteneho v počátku v bodě  $X = (x, y, z) (\neq 10, 0, 0)$

$$\vec{F}(x, y, z) = \frac{1}{4\pi\epsilon_0} \frac{Q}{(\sqrt{x^2 + y^2 + z^2})^3} (x, y, z);$$

3) 
$$\vec{F}(x, y) = \left( \frac{-y}{x^2 + y^2}, \frac{x}{x^2 + y^2} \right)$$

vektorové pole má ve kružnici  $x^2 + y^2 = r^2$ ,  $r > 0$   
stále stejnou velikost  $\vec{F}(x, y) = \frac{1}{r^2}$

a  $(x, y) \cdot \left( \frac{-y}{x^2 + y^2}, \frac{x}{x^2 + y^2} \right) = 0$ , tj. vektor  $\vec{F}(x, y)$   
je kolmý k vektoru  $(x, y)$  (v bodě kružnice)



- popisuje „víry“ - blíže bude,  
až budeme probírat „kružnicové  
integrální vektorových poli“

4) A ještě připomule' lineárních zobrazení'  $L: \mathbb{R}^n \rightarrow \mathbb{R}^m$ ;  
(viz lineární algebra):

Je-li  $L: \mathbb{R}^n \rightarrow \mathbb{R}^m$  lineární zobrazení', pak existuje  
(jedina' ve zvolených bázích) matice  $A$  typu  $(m \times n)$  tak,  
až  $y = L(x) = A \cdot x$ , kde  $(y \in \mathbb{R}^m, x \in \mathbb{R}^n)$

$$\begin{pmatrix} y_1 \\ y_2 \\ \vdots \\ y_m \end{pmatrix} = \begin{pmatrix} a_{11} & a_{12} & \dots & a_{1n} \\ a_{21} & a_{22} & \dots & a_{2n} \\ \dots & \dots & \dots & \dots \\ a_{m1} & a_{m2} & \dots & a_{mn} \end{pmatrix} \begin{pmatrix} x_1 \\ x_2 \\ \vdots \\ x_n \end{pmatrix}, \text{ tj.}$$

$$\begin{pmatrix} y_1 \\ y_2 \\ \vdots \\ y_m \end{pmatrix} = \begin{pmatrix} a_{11}x_1 + a_{12}x_2 + \dots + a_{1n}x_n \\ a_{21}x_1 + a_{22}x_2 + \dots + a_{2n}x_n \\ \dots \dots \dots \dots \\ a_{m1}x_1 + a_{m2}x_2 + \dots + a_{mn}x_n \end{pmatrix},$$

kde  $y = L(x)$  je také' vektorová' funkce  $n$  proměnných  
(a ta, nejzjednodušená' - lineární)

V druhé' části' přednášky bude

- 1) zavedení' vzdálenosti v  $\mathbb{R}^n$
- 2) vyšetření' vektorových funkcí' jedné' proměnné',  
tj.  $\vec{f}: M \subset \mathbb{R} \rightarrow \mathbb{R}^n$  (v příkladech I.)